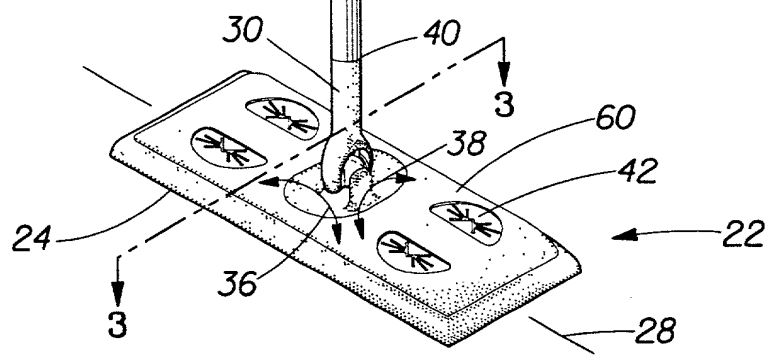


Fig. 1



2/19

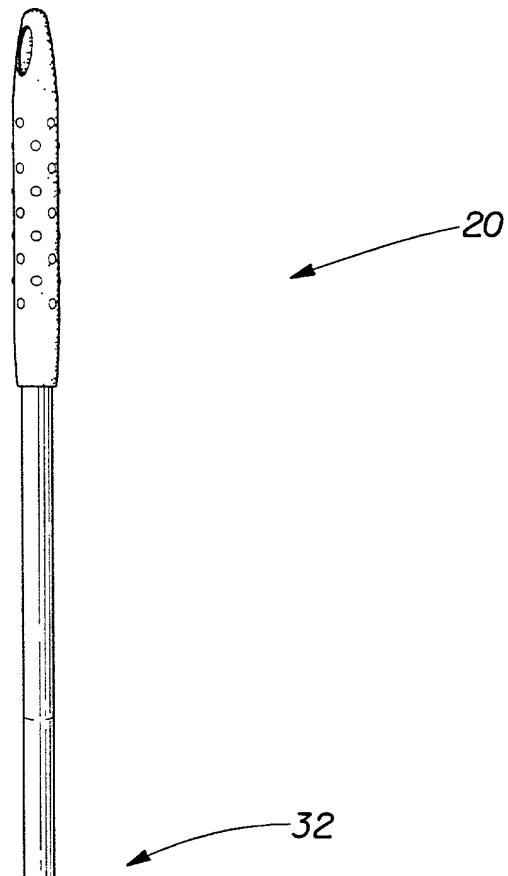
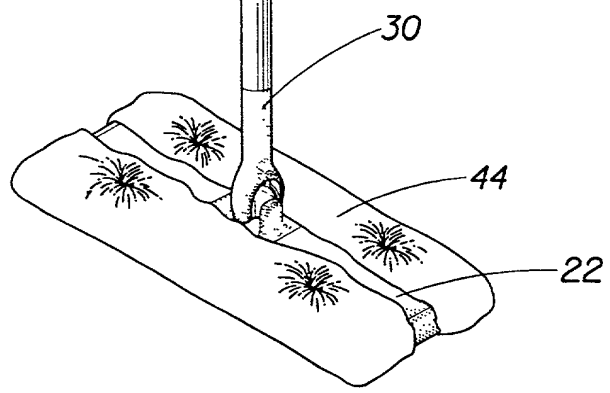


Fig. 2



3/19

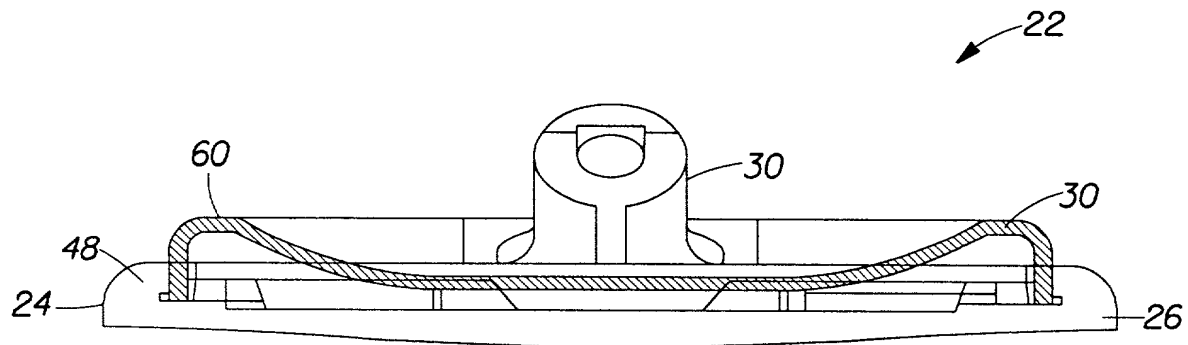


Fig. 3

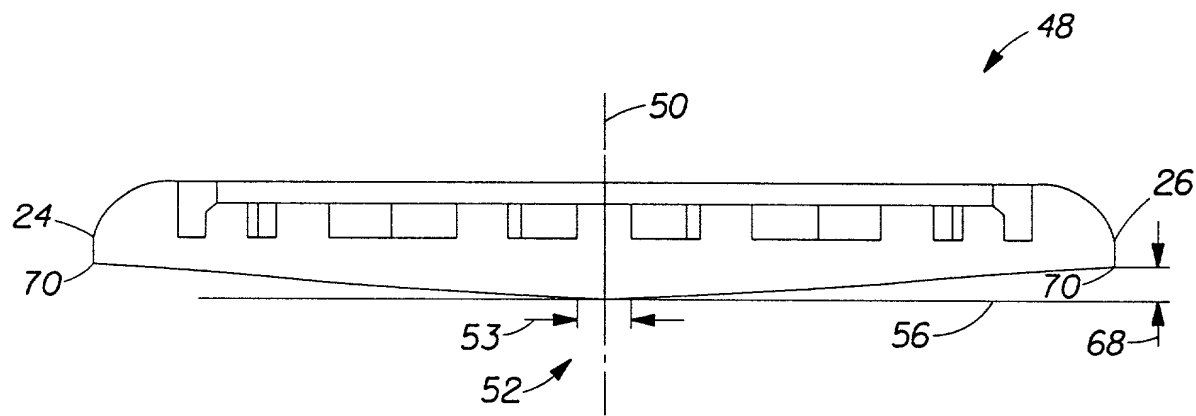


Fig. 4

4/19

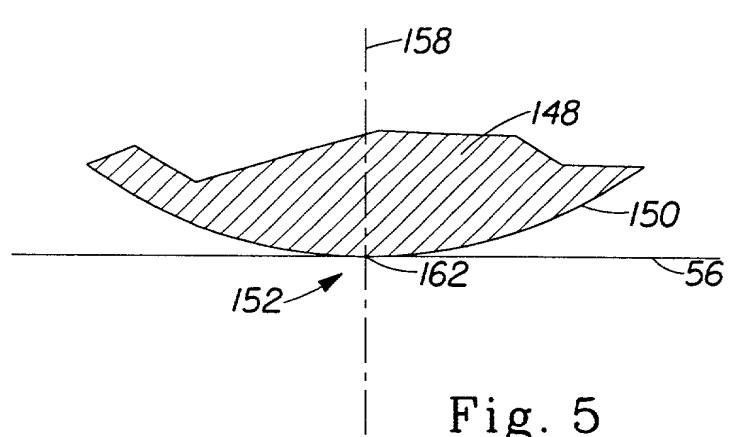


Fig. 5

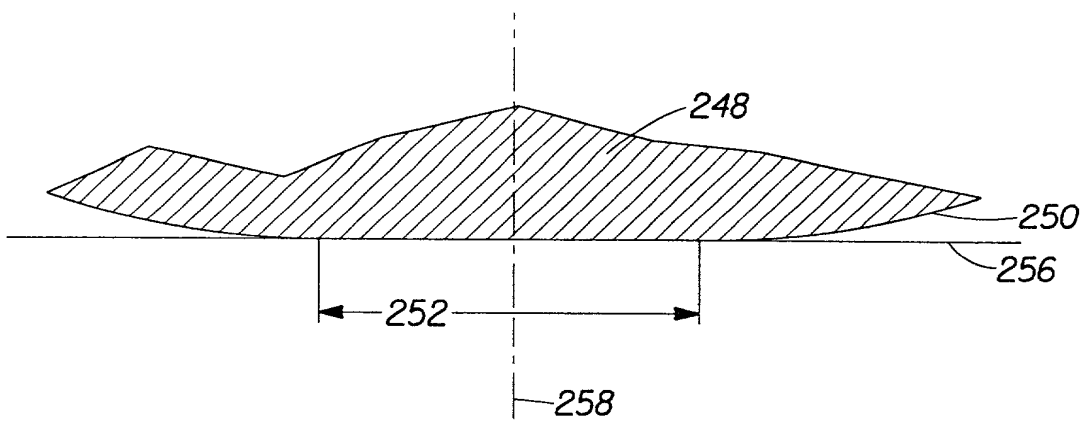


Fig. 6

5/19

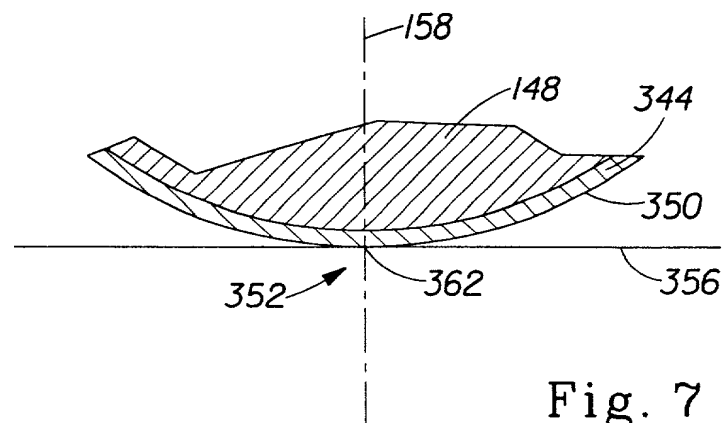


Fig. 7

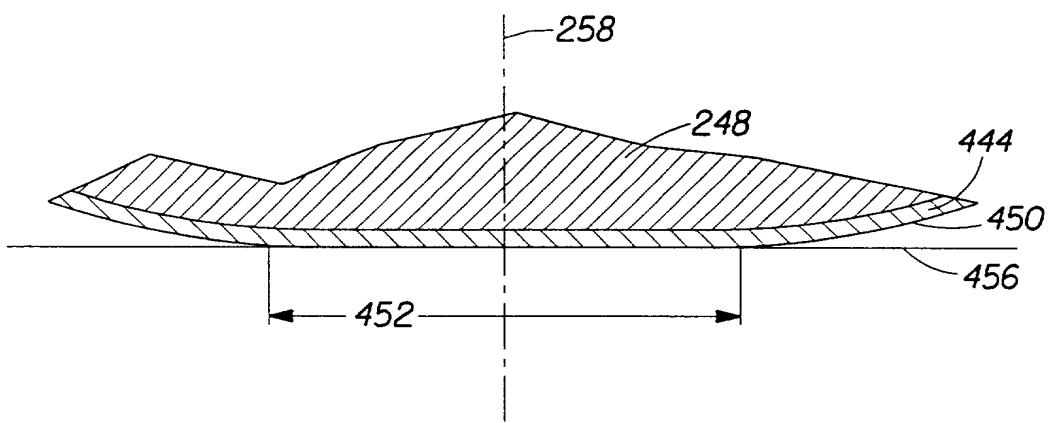


Fig. 8

6/19

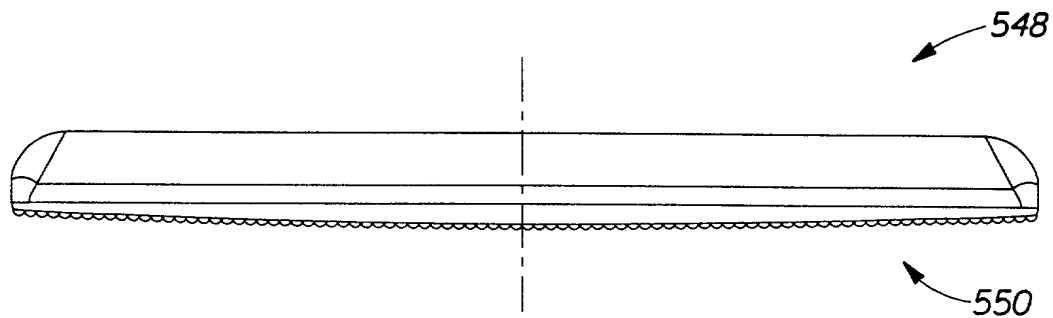


Fig. 9

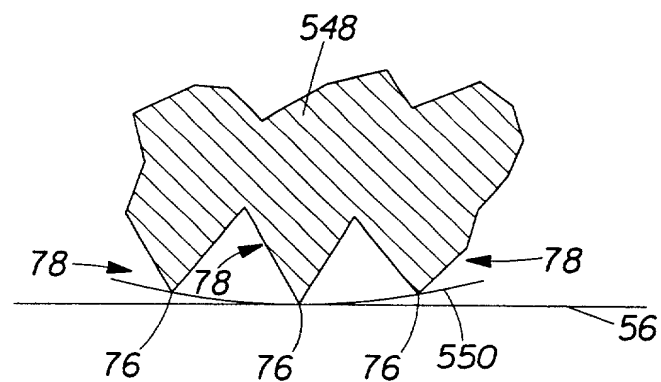


Fig. 10

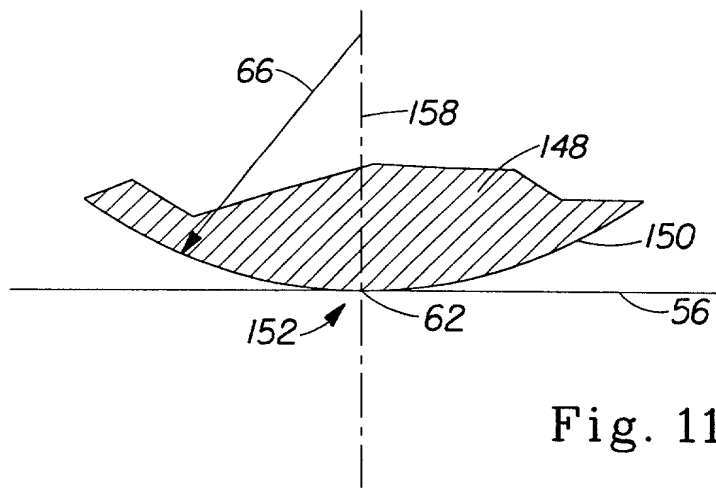
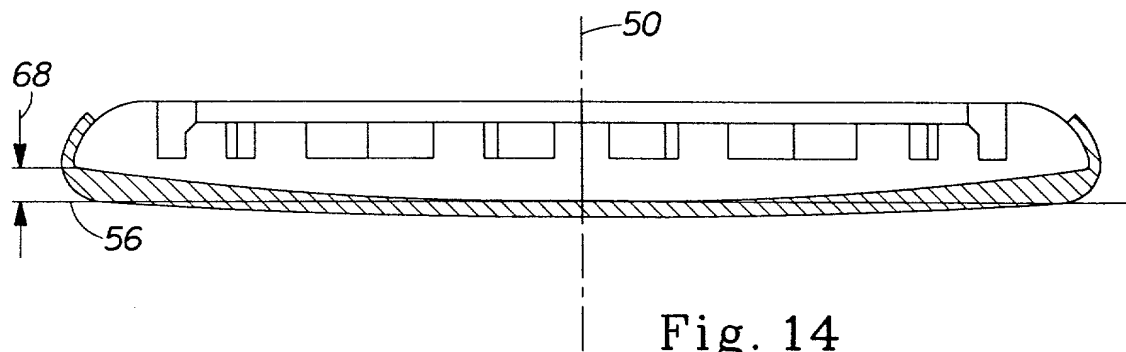
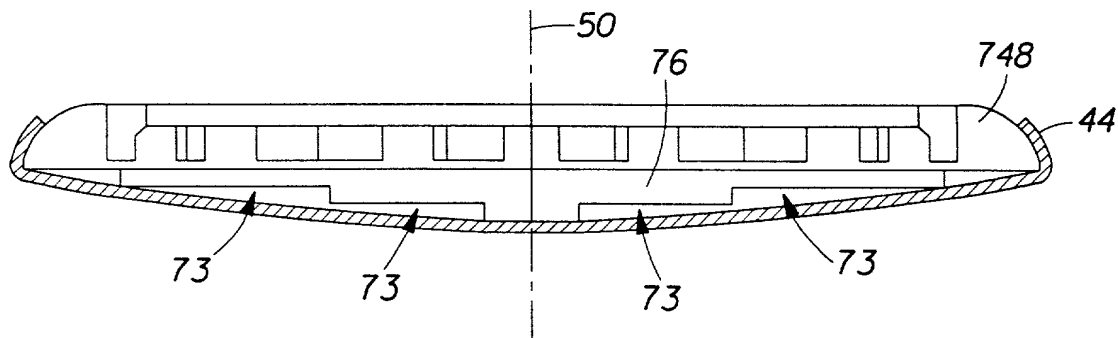
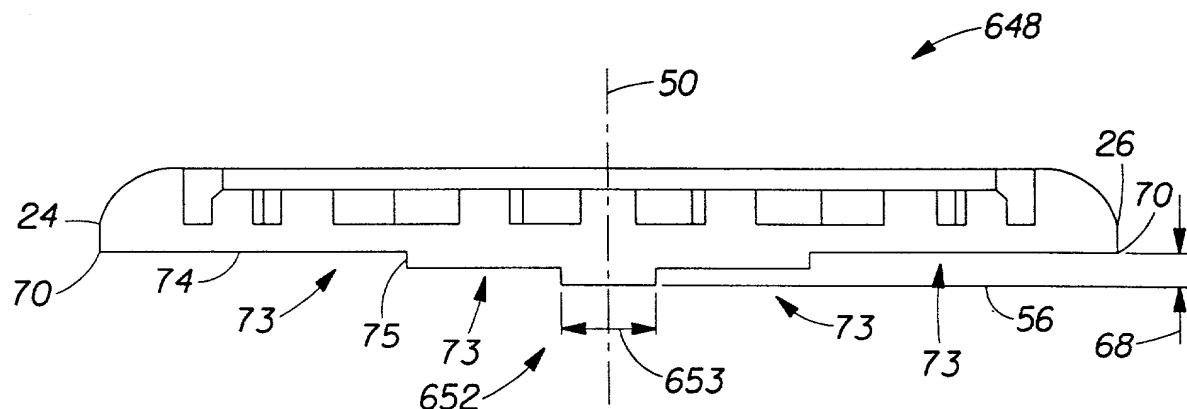


Fig. 11

7/19



8/19

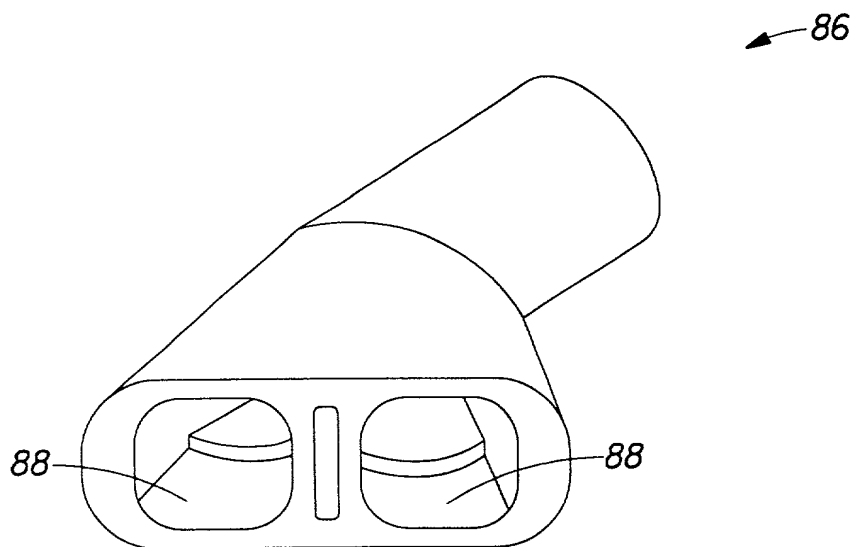


Fig. 15

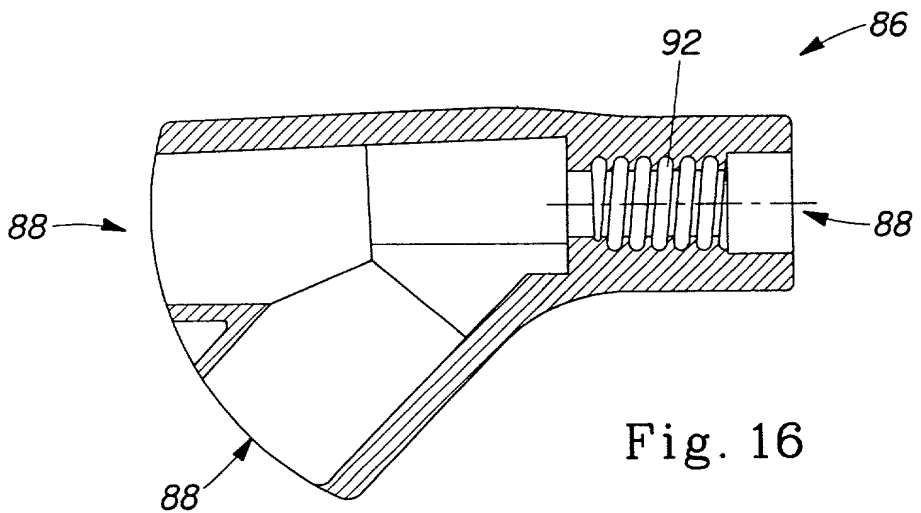


Fig. 16

9/19

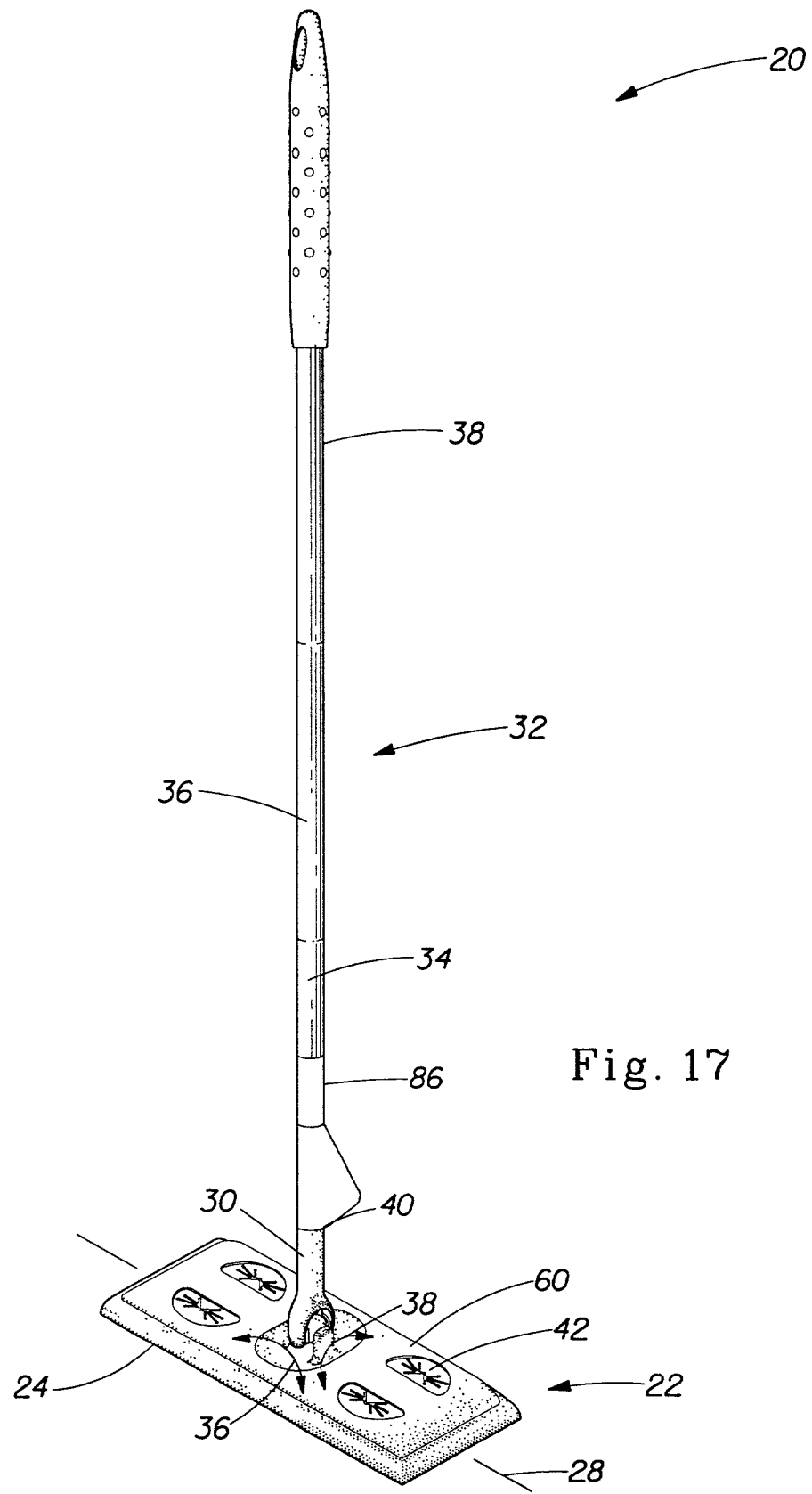
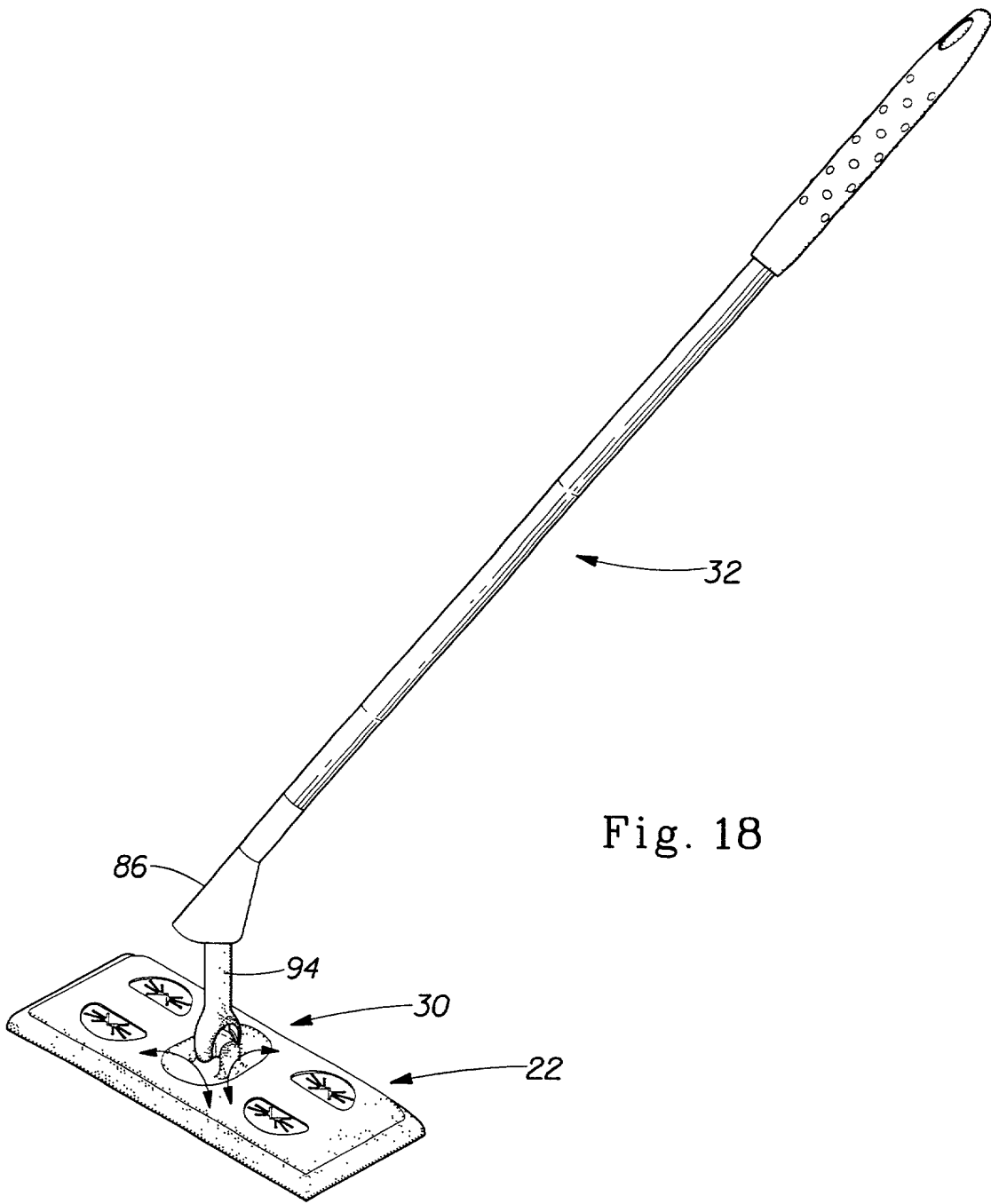


Fig. 17

10/19



11/19

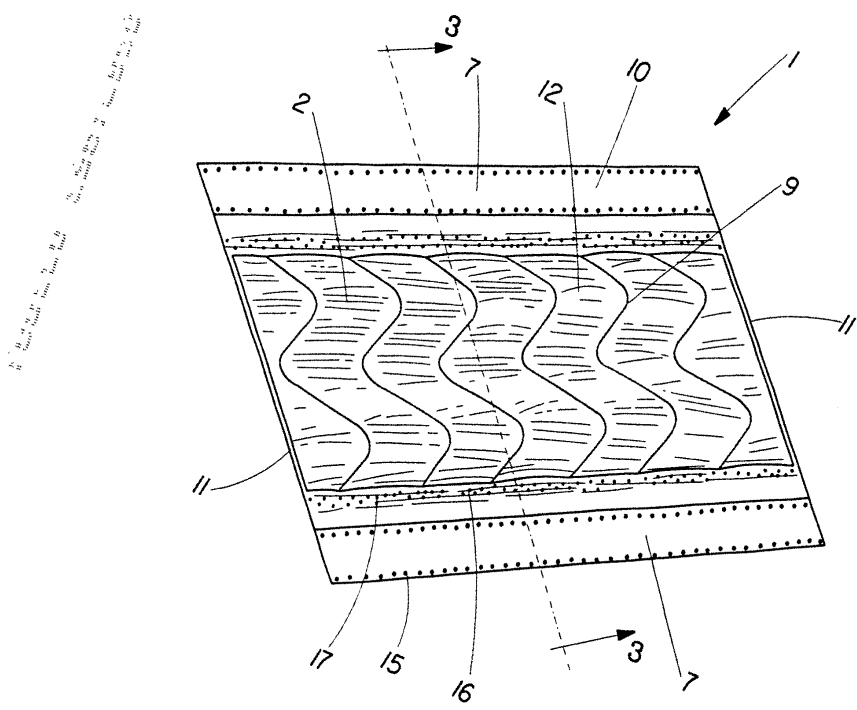


Fig. 19

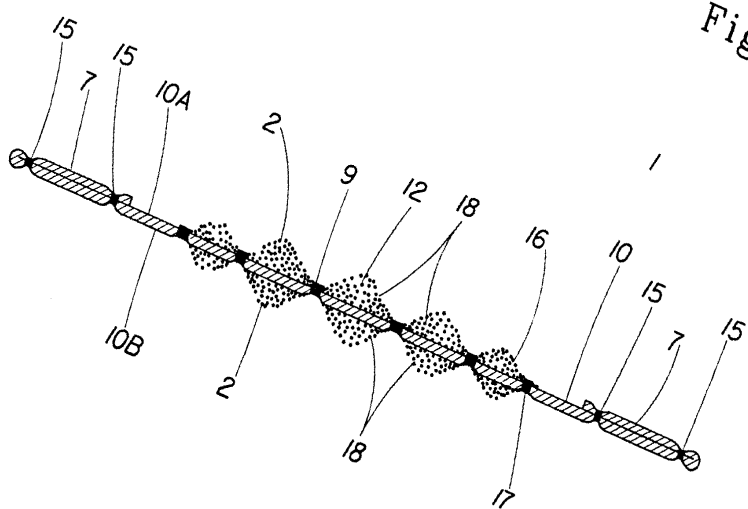


Fig. 20

12/19

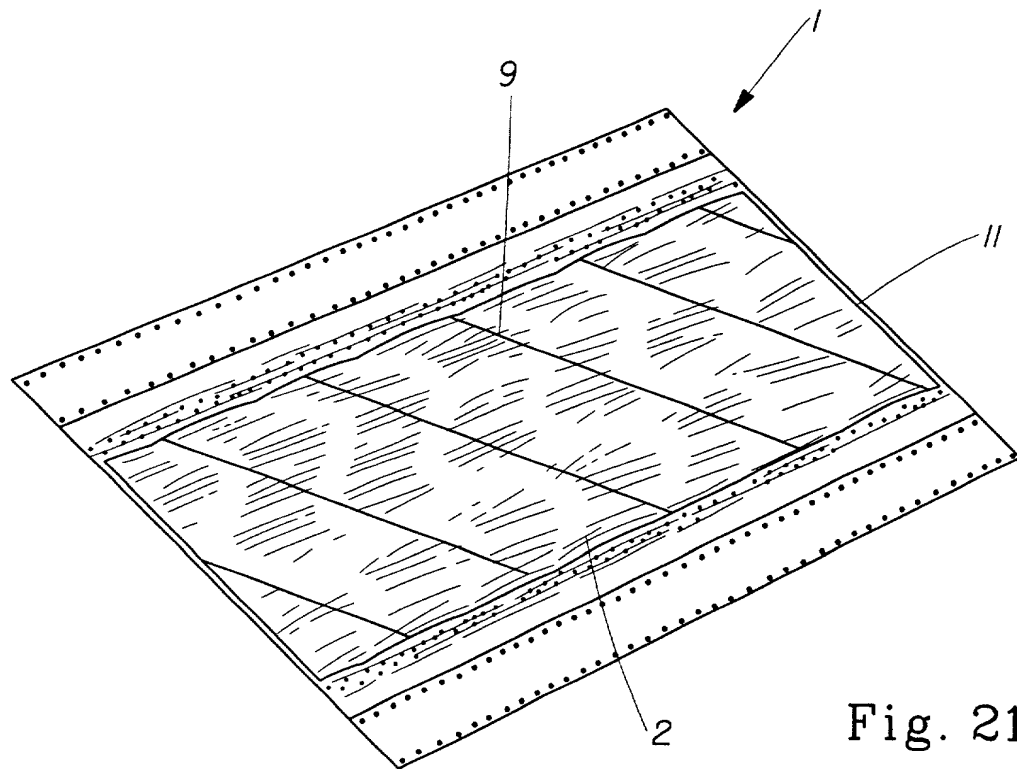


Fig. 21

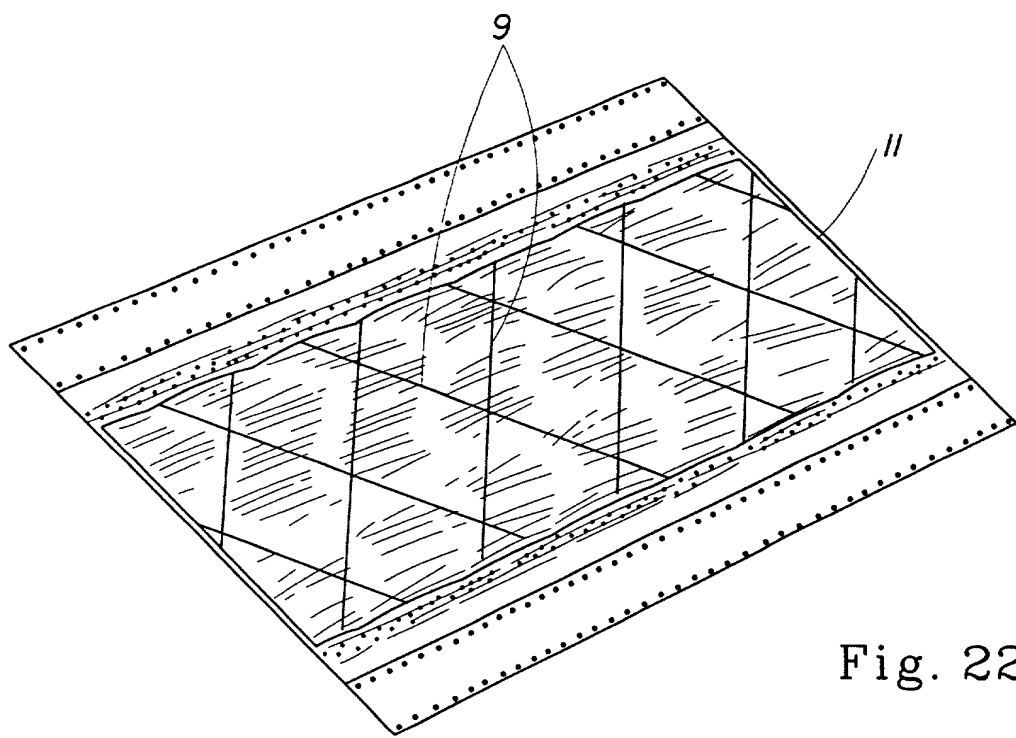


Fig. 22

13/19

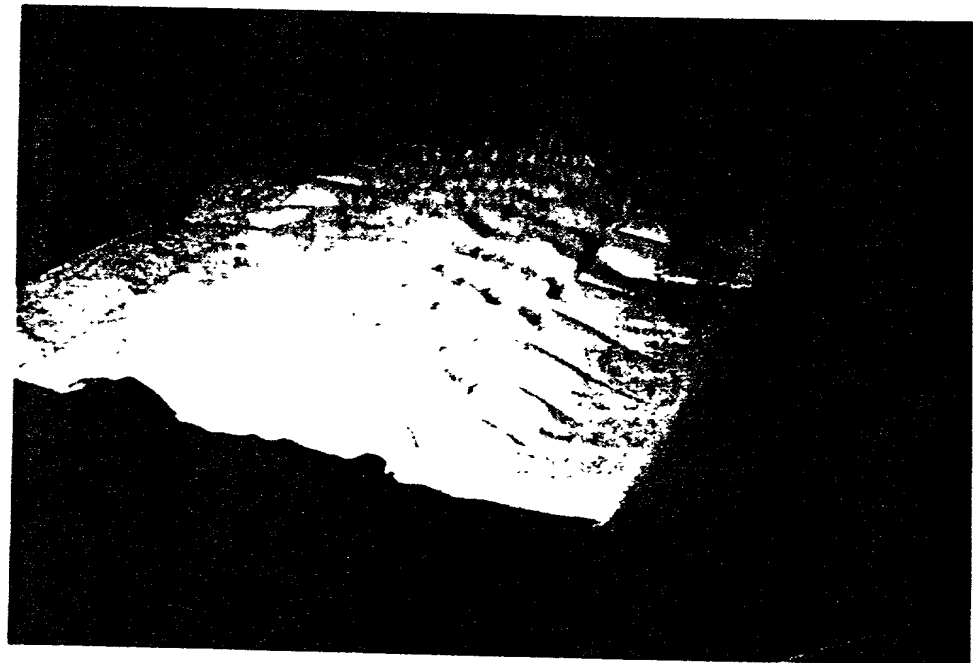


Fig. 23

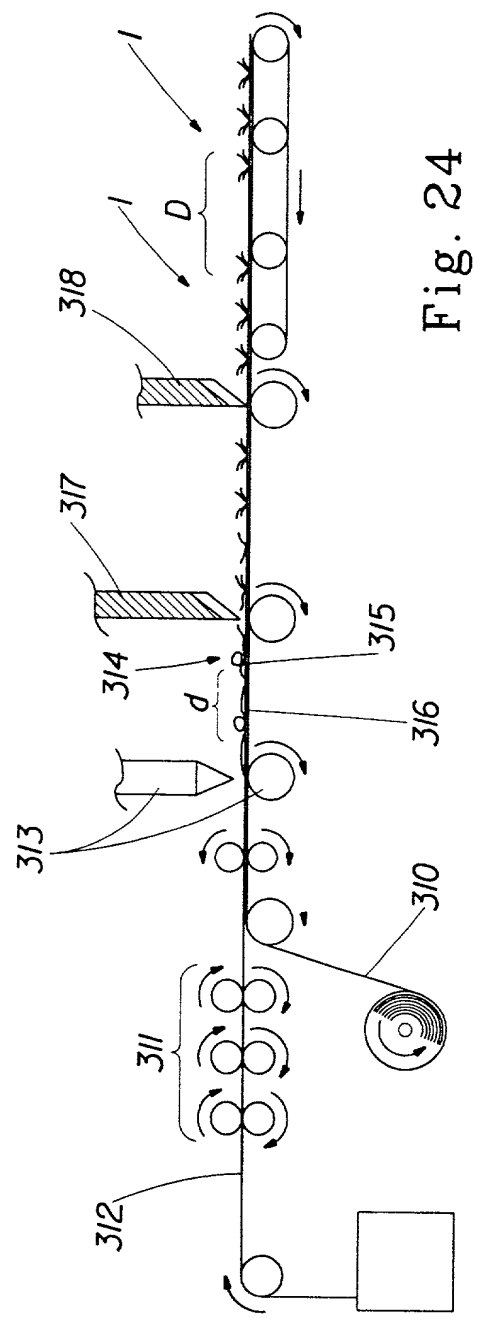


Fig. 24

15/19

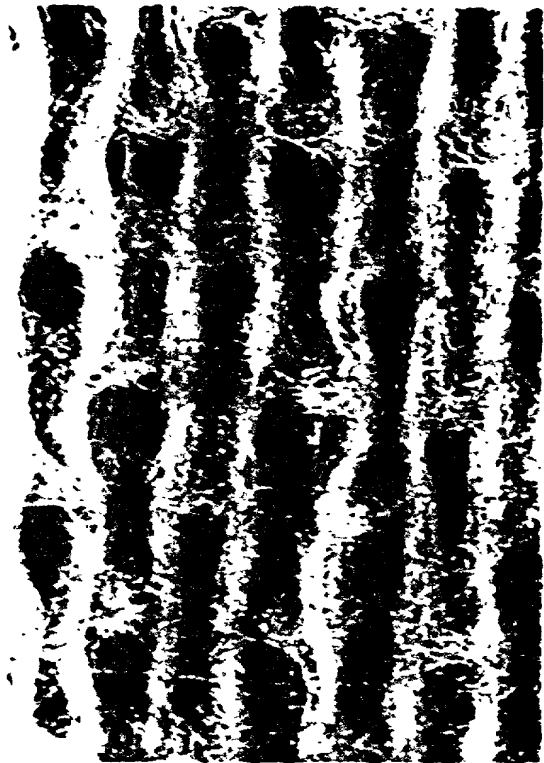


Fig. 25

16/19

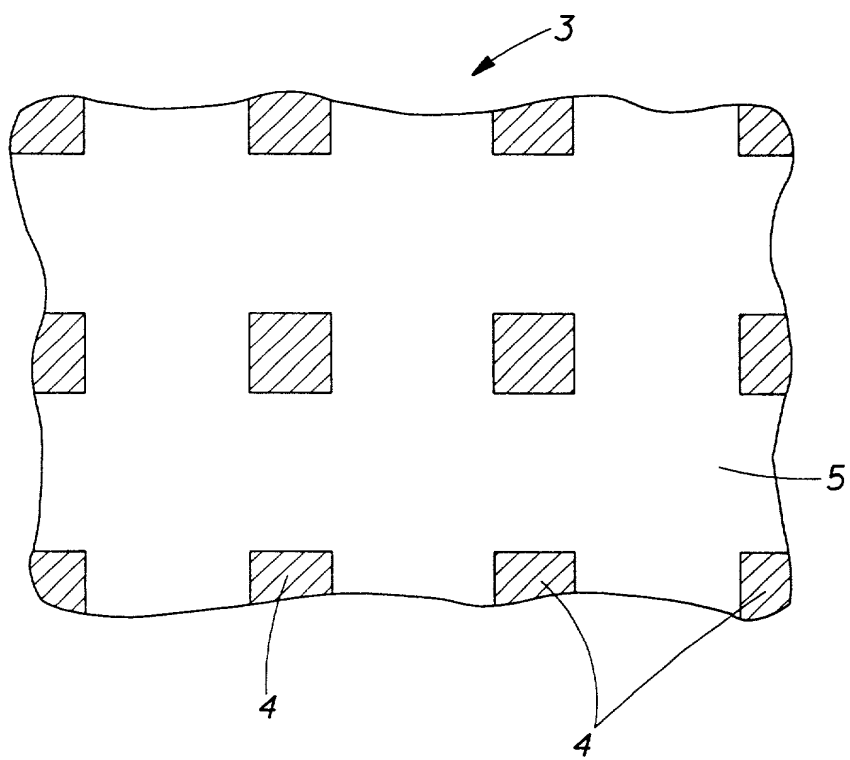


Fig. 26

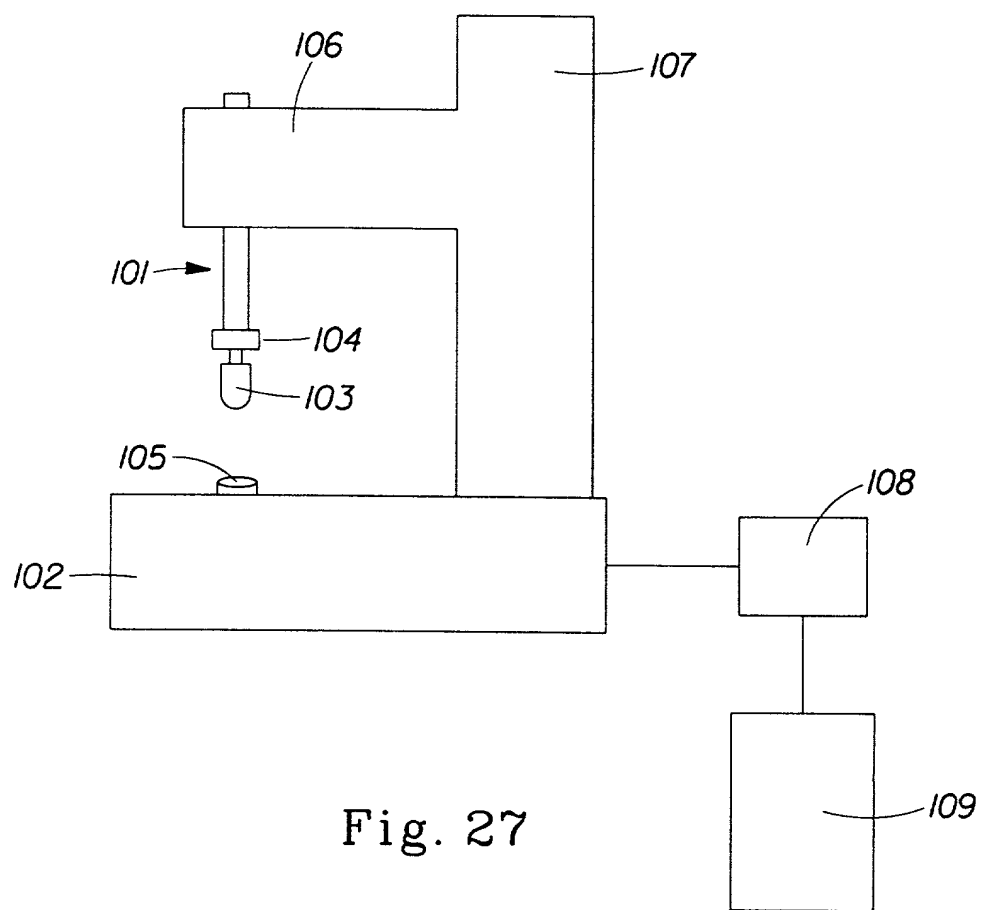


Fig. 27

18/19

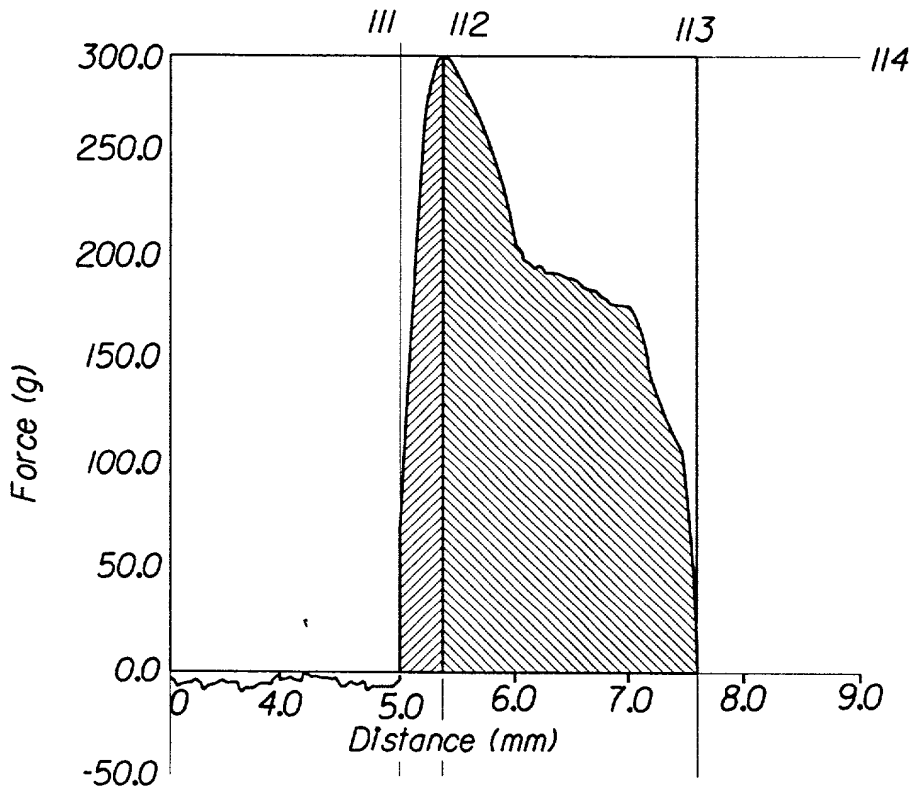


Fig. 28

19/19

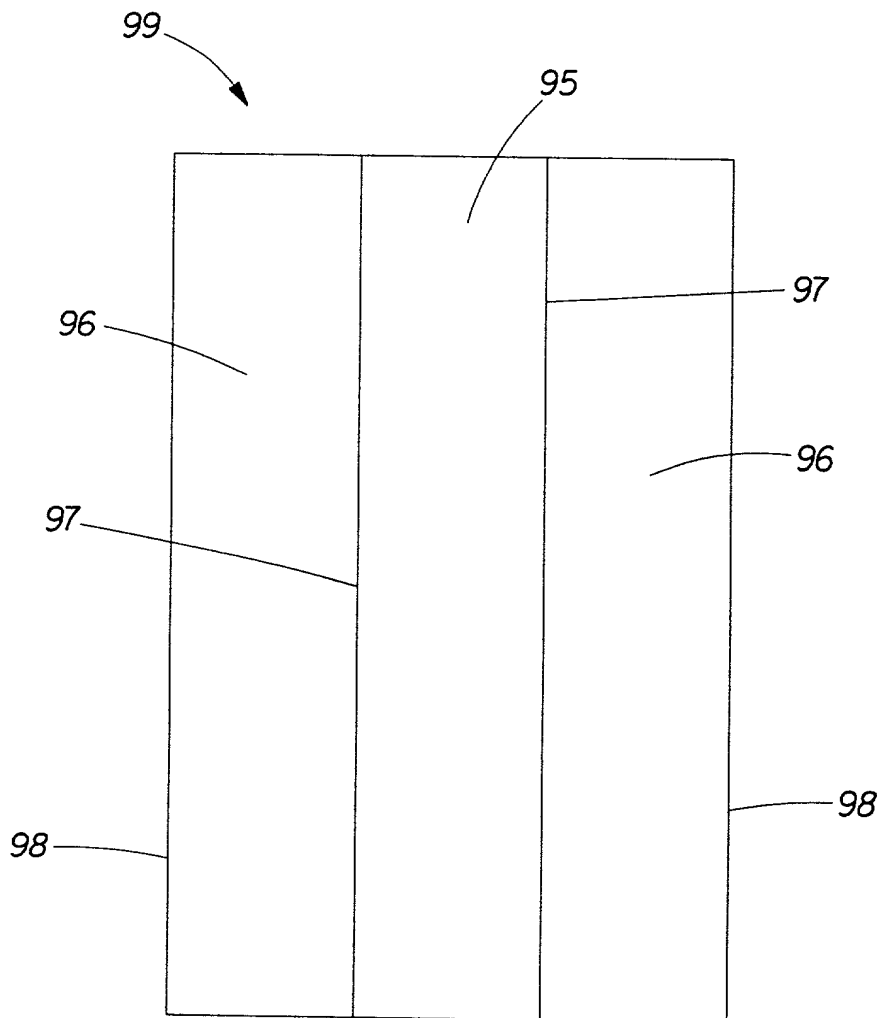


Fig. 29